

Nowoczesne technologie materiałowe stosowane w przemyśle lotniczym Modern material technologies in aerospace industry

Nowoczesne pokrycia barierowe na krytyczne części silnika Modern barrier covers on critical engine parts

Uniwersytet Rzeszowski, Politechnika Śląska, Politechnika Warszawska, Politechnika Rzeszowska, Politechnika Lubelska

Wyniki badań Results

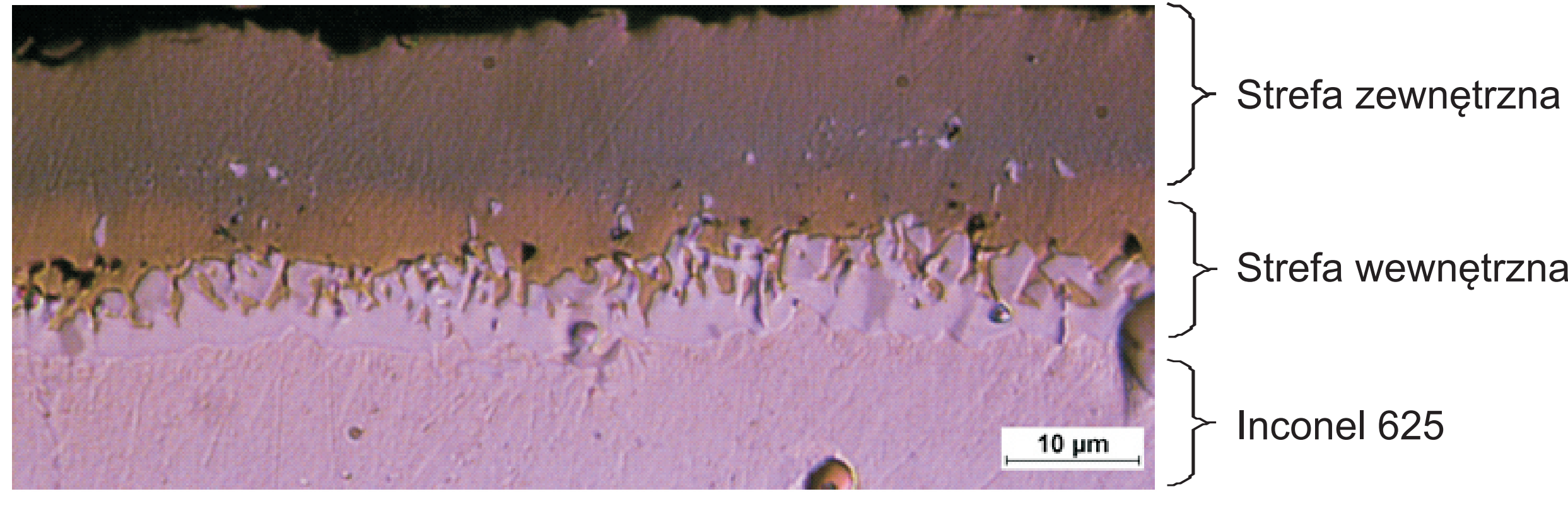
Celem pracy było określenie właściwości mechanicznych powłoki aluminidowej wytworzonej na nadstopie 625 w procesie aluminiowania dyfuzyjnego. Badano wytrzymałość na rozciąganie, wytrzymałość na zginanie i nanotwardość materiału bazowego - nadstopu Inconel 625. Obserwacje pęknięć, przełomów badanych próbek oraz analizę składu chemicznego przeprowadzono z wykorzystaniem mikroskopu SEM z EDS oraz LM.

Badania przeprowadzono na próbkach o przekroju prostokątnym o wymiarach 19mmx1mm i długości 40mm-160mm zależnie od metody badawczej.

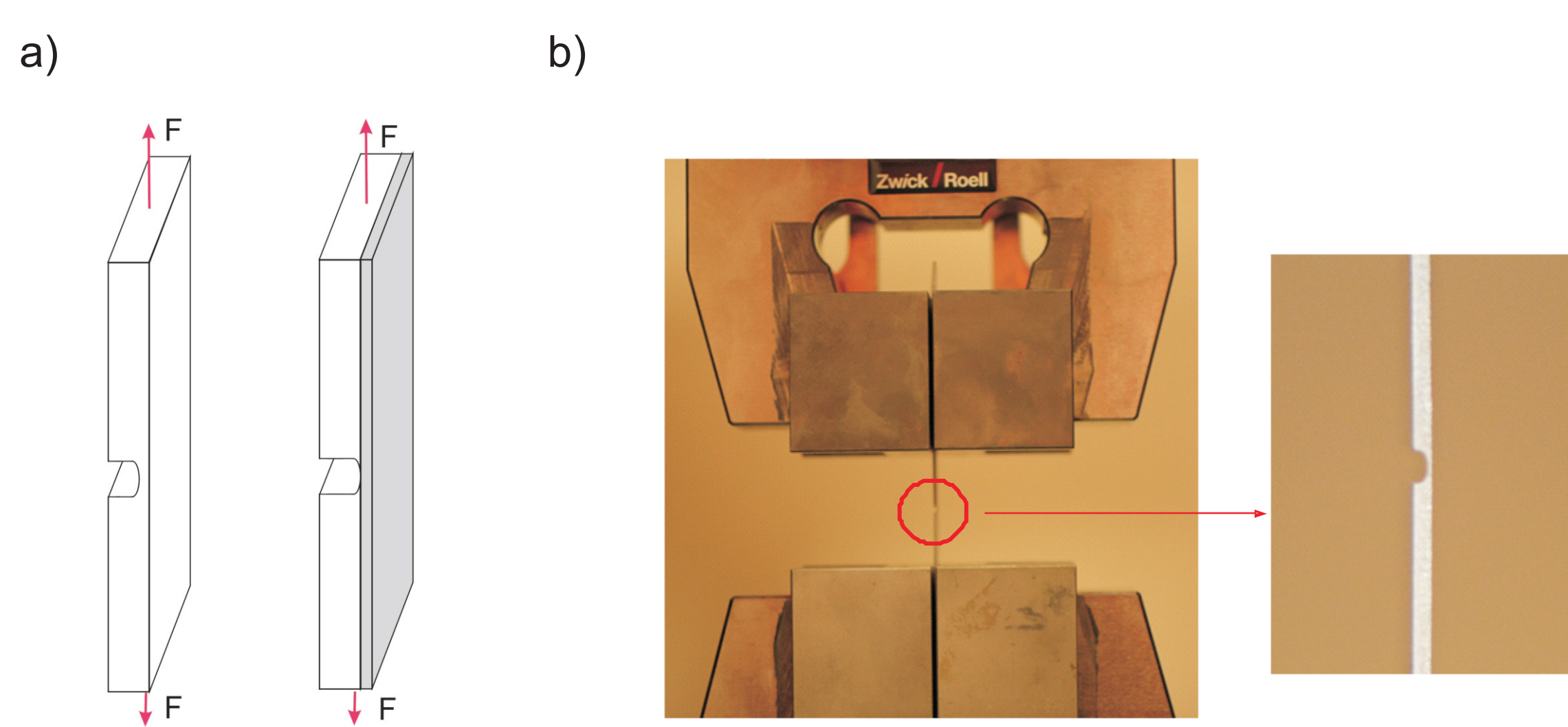
Badania wytrzymałości na rozciąganie i zginanie wykonano na maszynie wytrzymałościowej Zwick/Roell BT1-FB020TN.D30. Badania LM wykonano na mikroskopie Nikon ECLIPSE MA200. Badania SEM z EDS wykonano na mikroskopie elektronowo-jonowym FEI Quanta 3D 200i. Pomiar nanotwardości wykonano na urządzeniu CSM przy obciążeniu F=10 mN.

The aim of the study was to determine the mechanical properties of the aluminide coating formed on the superalloy 625 in the aluminising diffusion process. Specimens of aluminide coating and specimens of base material were tested for tensile strength, bending strength and nanohardness. The observation of cracks on the coating and fracture of the samples, also analysis of chemical composition was performed by using SEM, EDS and LM.

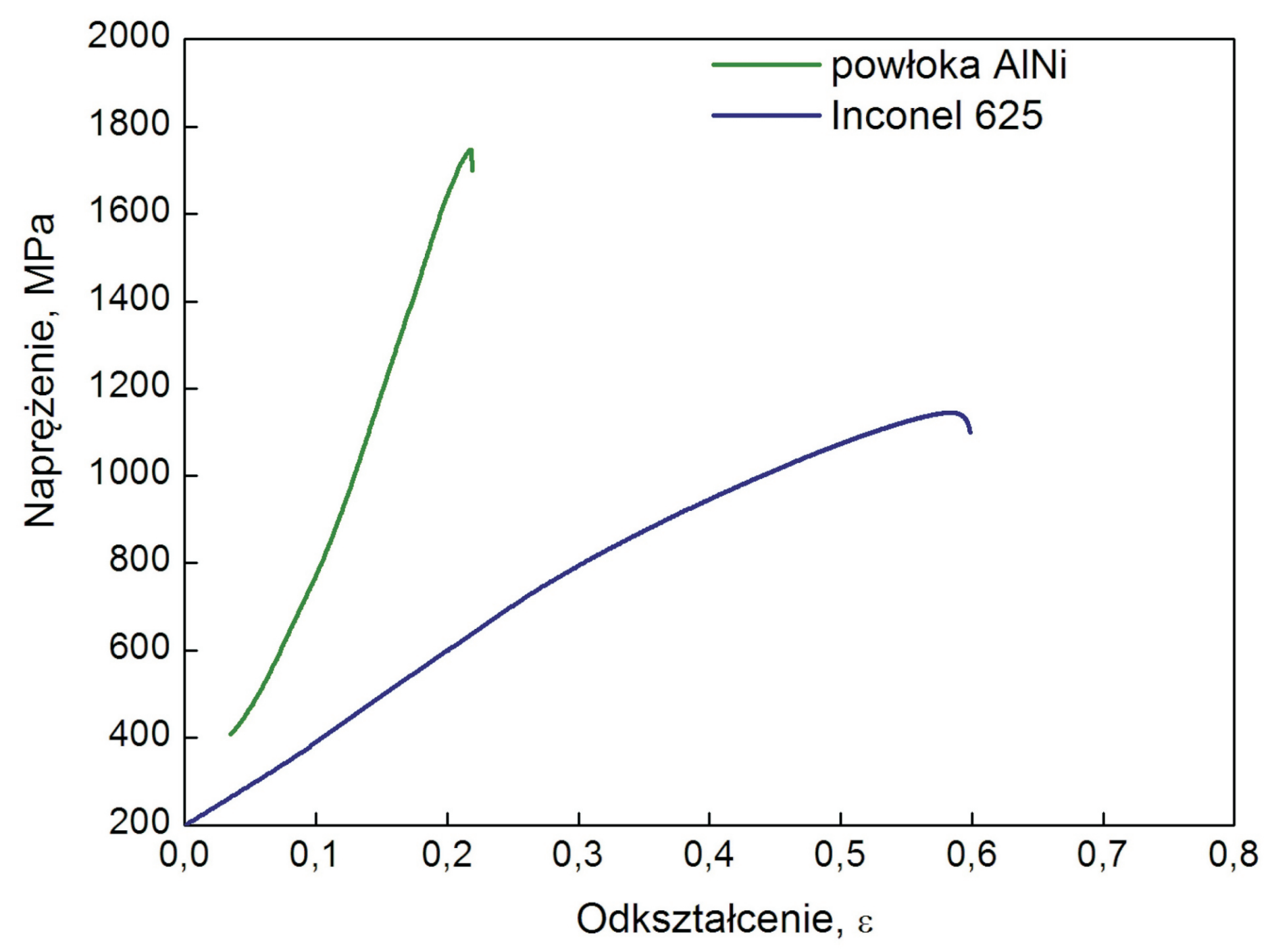
The tests were performed on samples of rectangular cross-section about size 9mmx1mm and length 40mm-160mm, depending on the test method.



Rys. 1. Mikrostruktura LM powłoki aluminidowej
Fig. 1. Microstructure LM of aluminide coatings

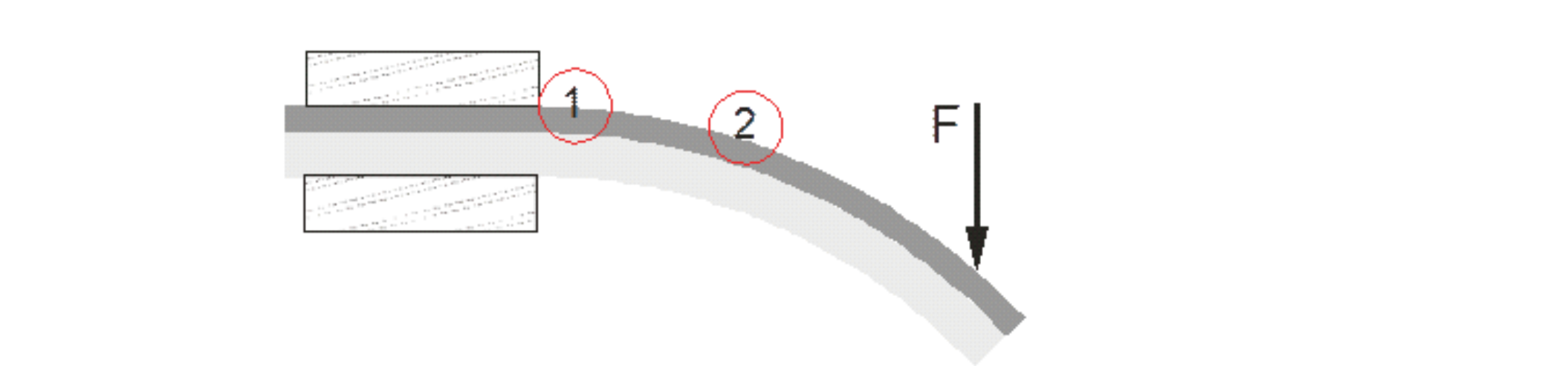


Rys. 2. Próbki do badań wytrzymałości na rozciąganie
Fig. 2. Tensile test specimen, scheme, view of the sample on the device

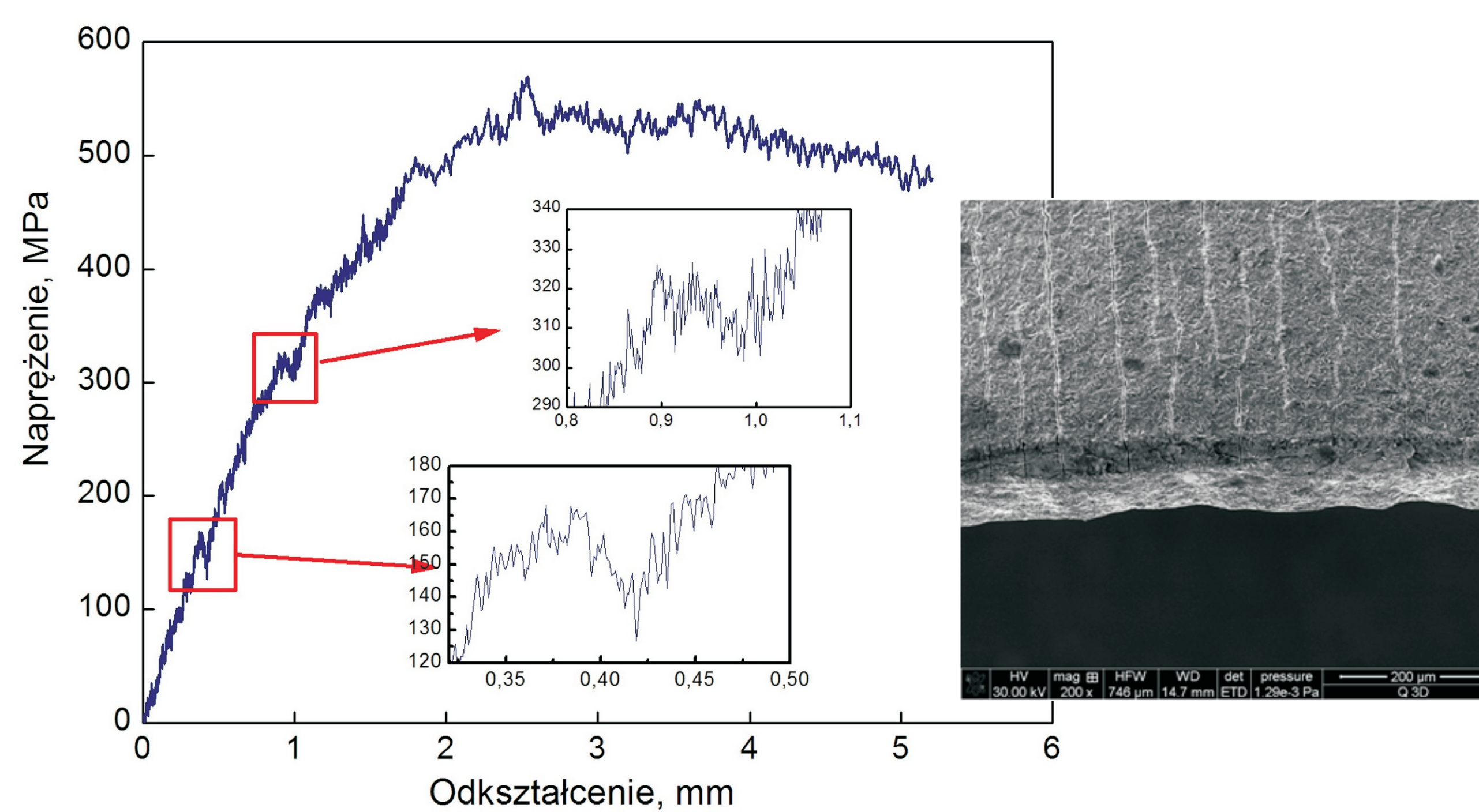
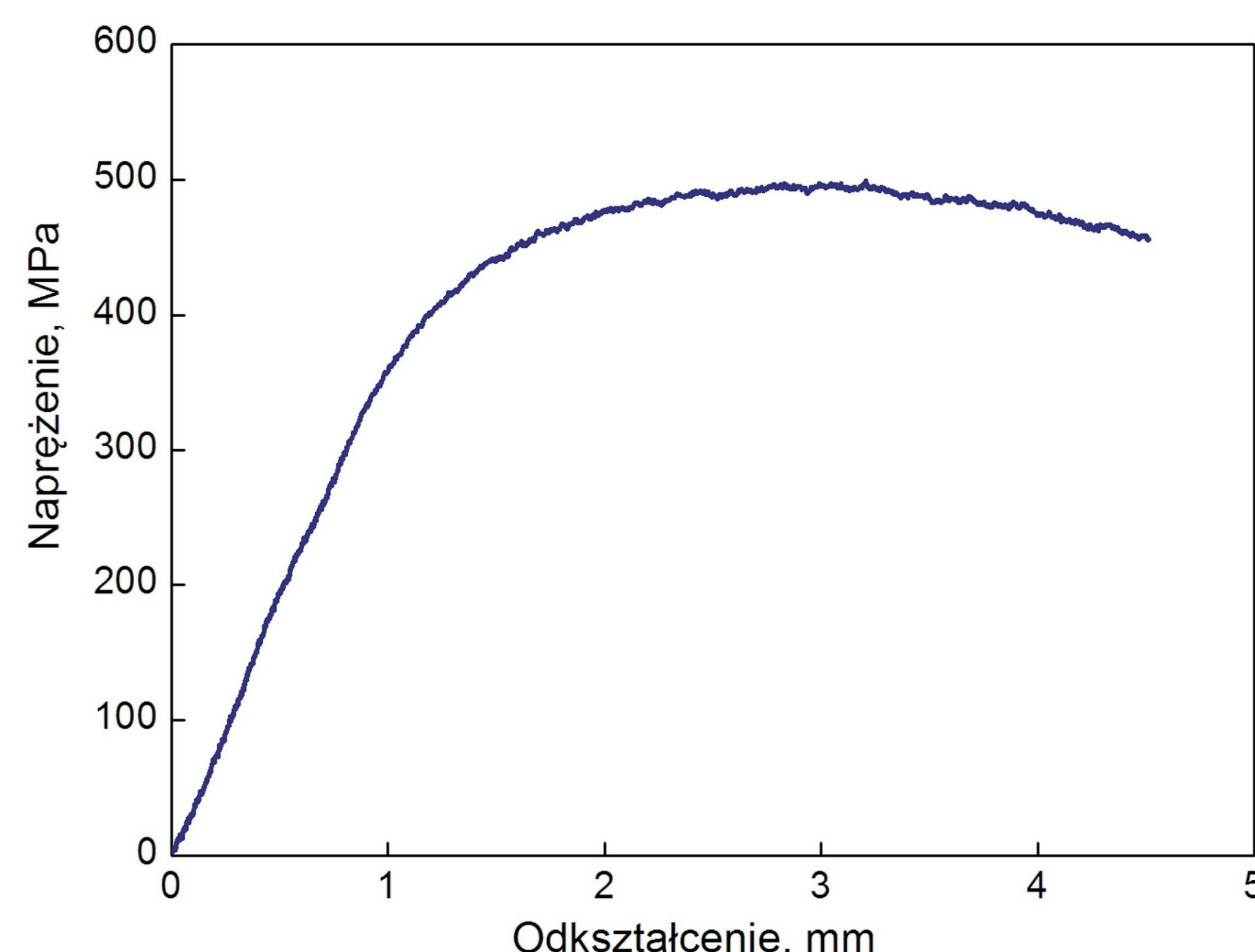


Rys. 3. Przykładowe krzywe rozciągania próbki bez powłoki (Inconel 625) i z powłoką aluminidową (AlNi)

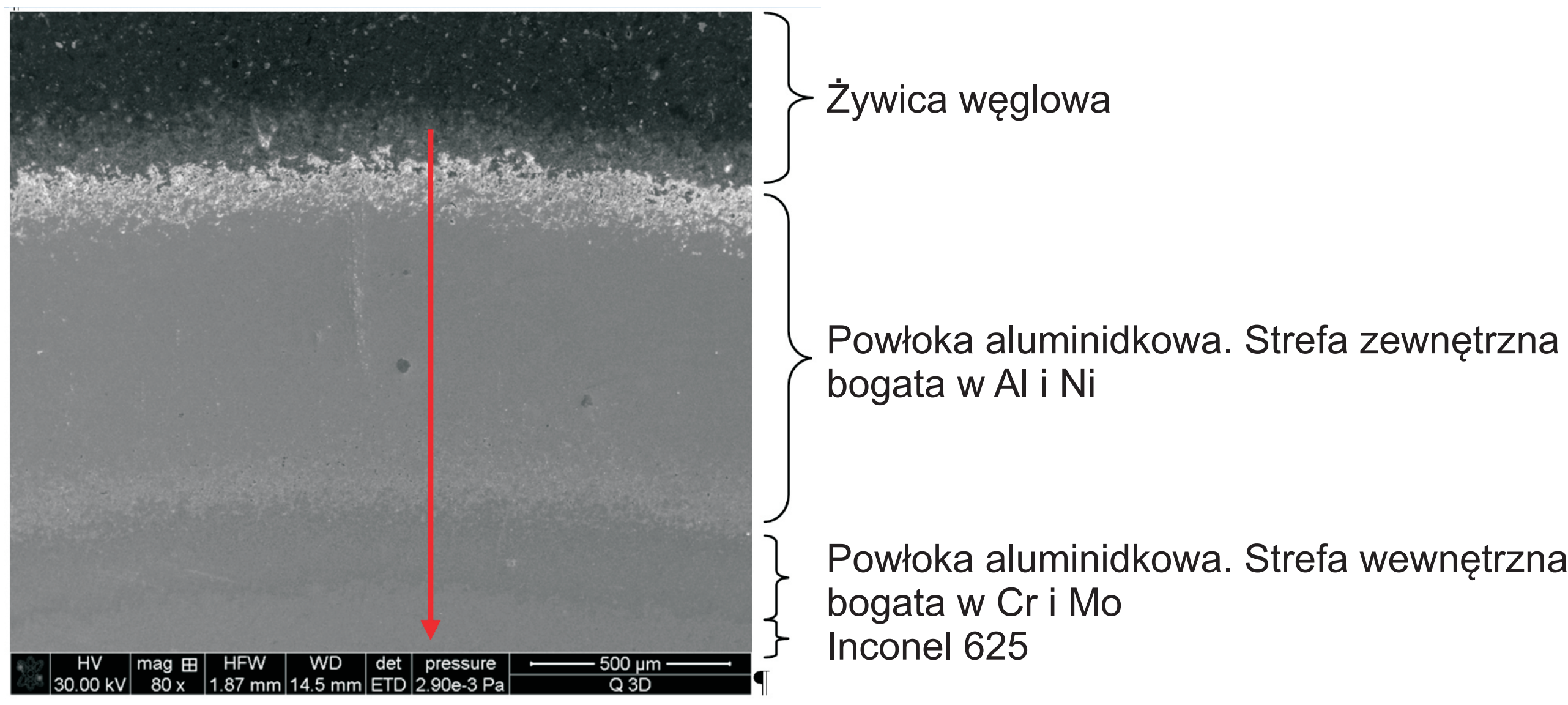
Fig. 3. Examples of stress-strain curves of the sample without coating (Inconel 625) and aluminide coating (AlNi)



Rys. 5. Schemat mocowania próbki podczas próby zginania
Fig. 5. Bending test specimen, scheme, view of the sample with AE sensor

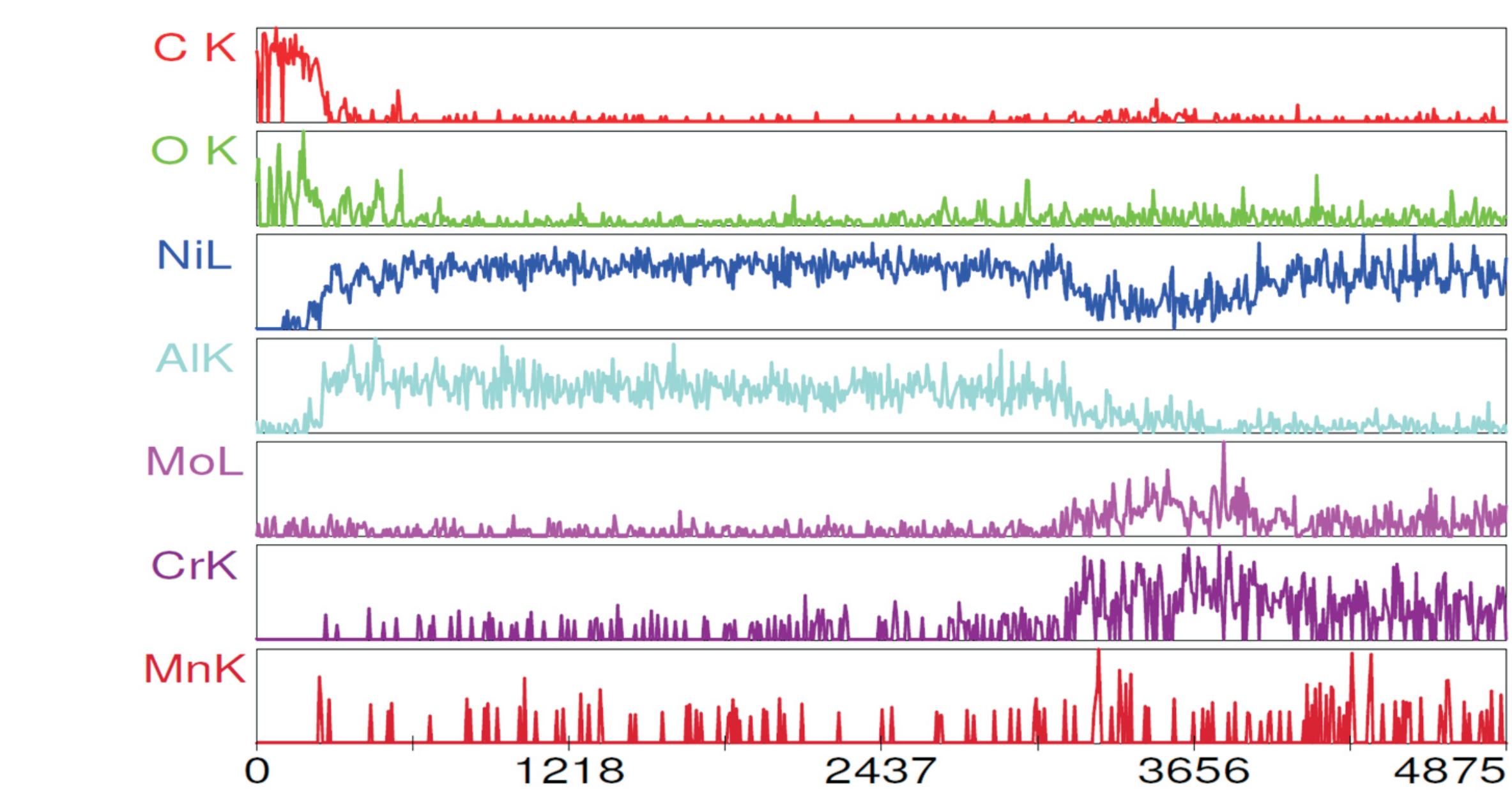


Rys. 6. Krzywe zginania próbki bez powłoki aluminidowej (u góry), z powłoką aluminidową, widok pęknięć powłoki (na dole)
Fig. 6. The curve of bending of specimen without aluminide coating (up), with aluminide coating, view of the crack of coating (down)



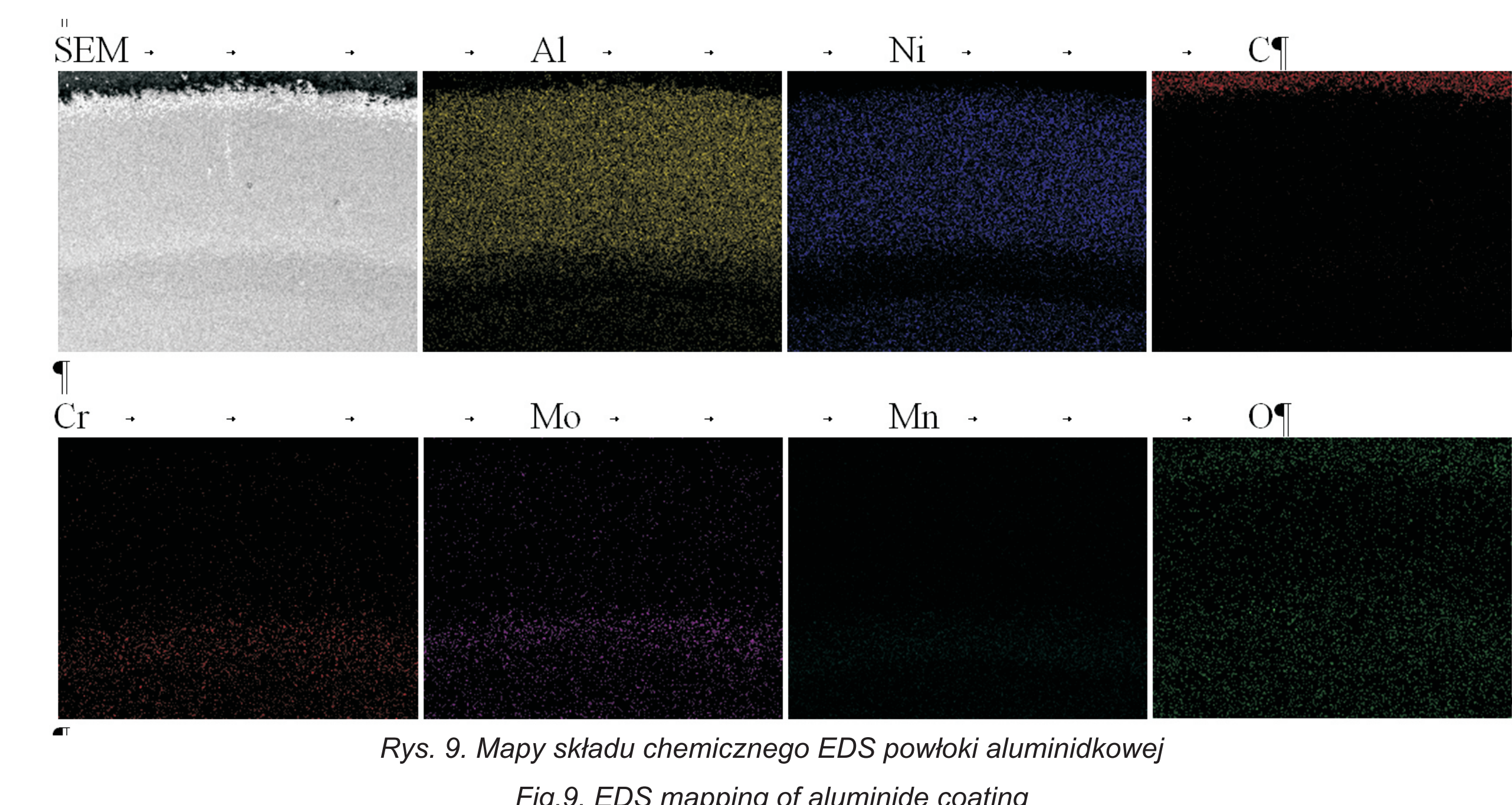
Rys. 7. Mikrostruktura powłoki aluminidowej na nadstopie Inconel 625

Fig. 7. The microstructure of the aluminide coating



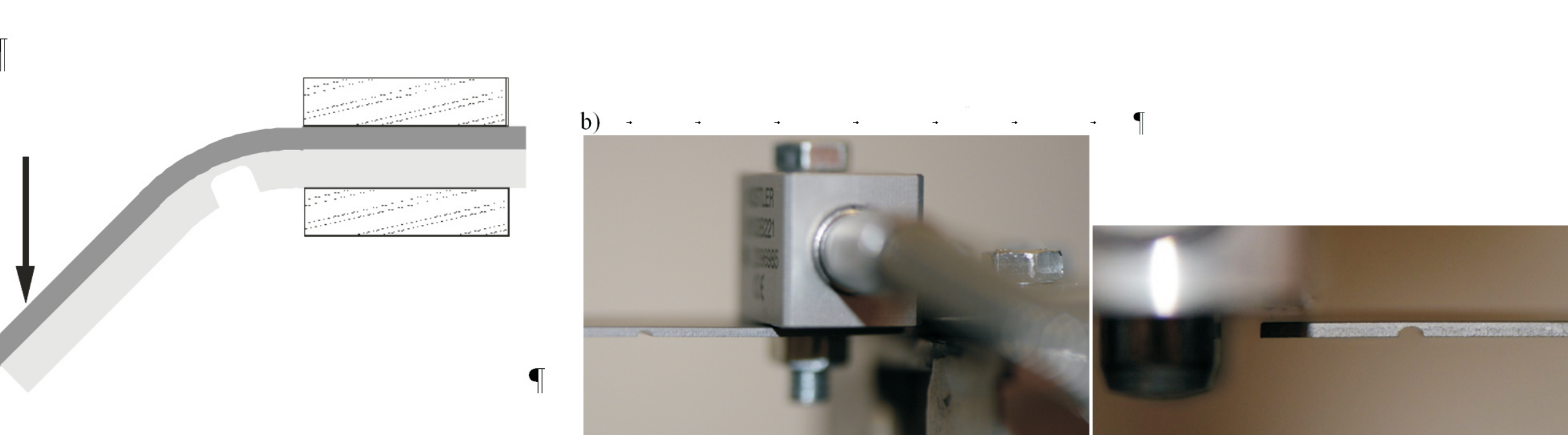
Rys. 8. Mikrostruktura powłoki aluminidowej z liniową analizą składu chemicznego EDS

Fig. 8. Aluminide coating microstructure with chemical EDS analysis

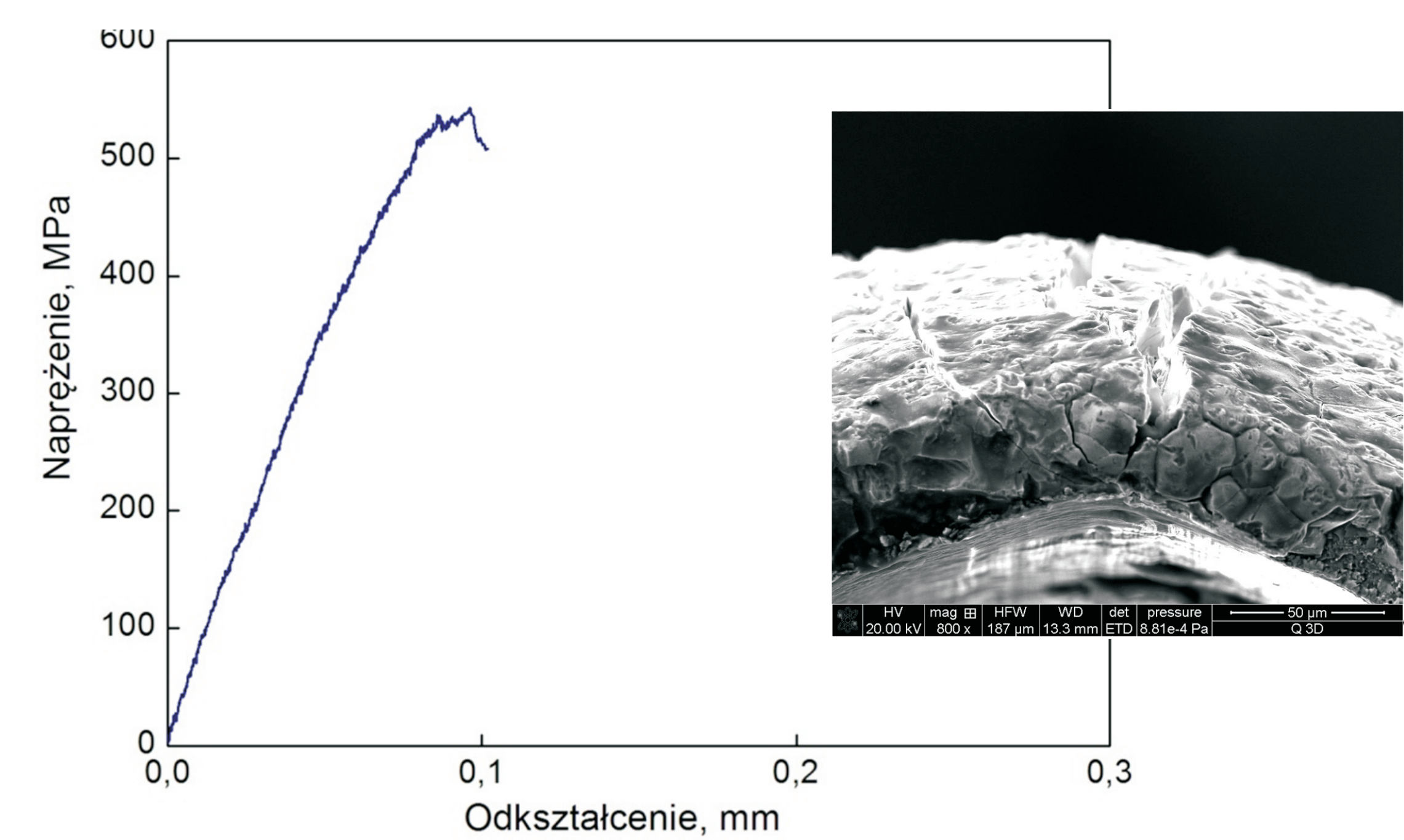


Rys. 9. Mapy składu chemicznego EDS powłoki aluminidowej

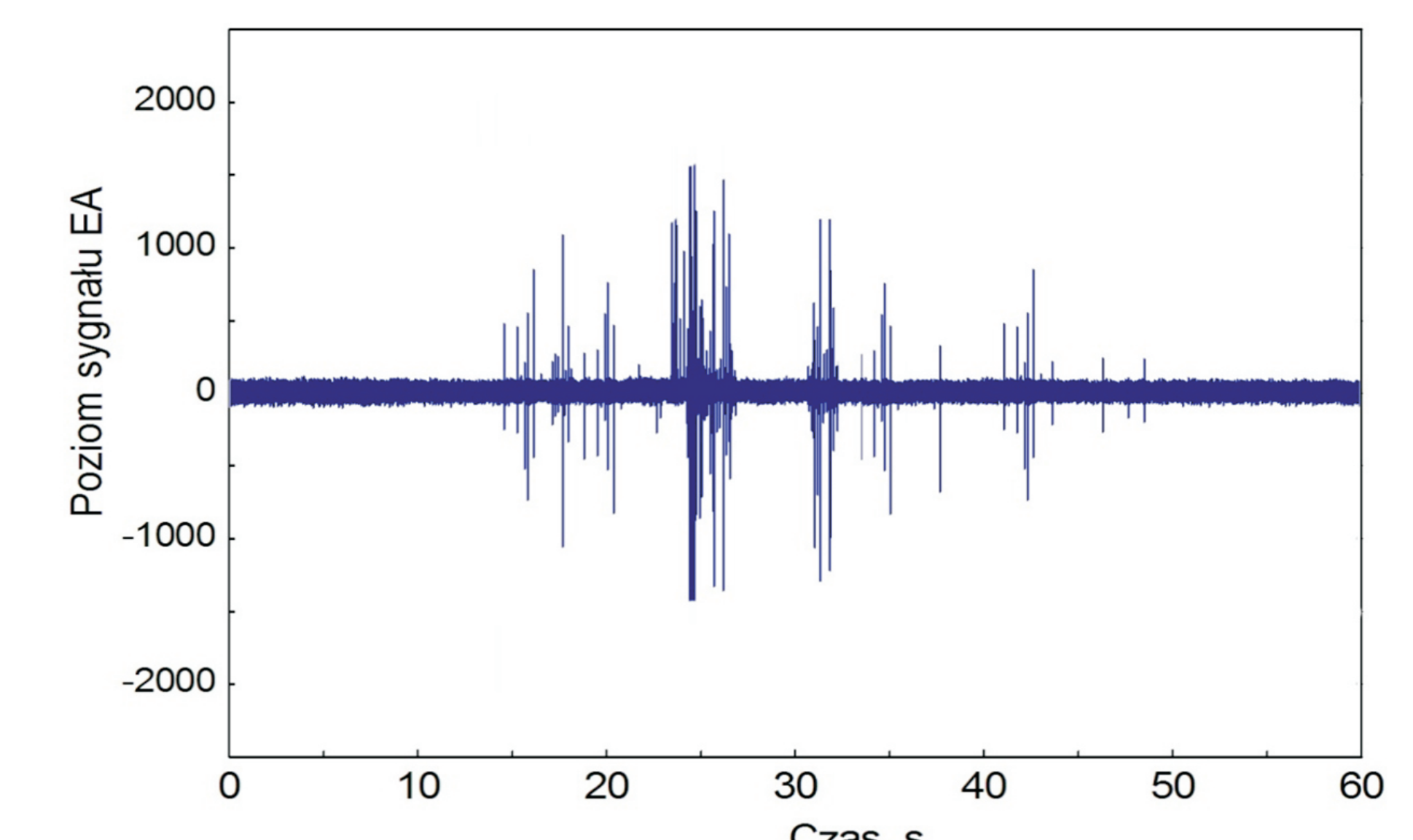
Fig. 9. EDS mapping of aluminide coating



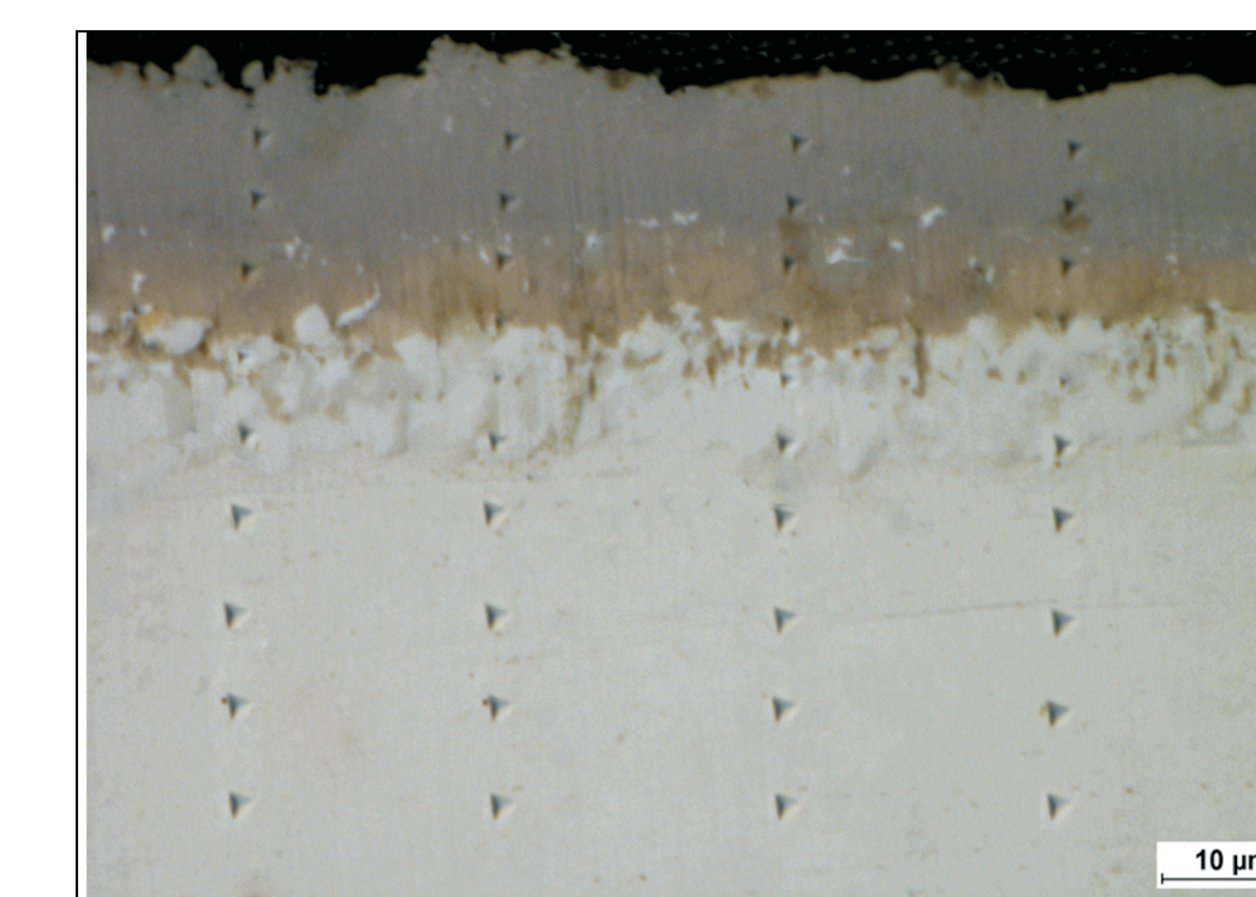
Rys. 10. Próbka z karbem użyta w próbie zginania wraz z zamocowanym sensorem AE
Fig. 10. Bending test notched specimen, scheme, view of the sample with AE sensors



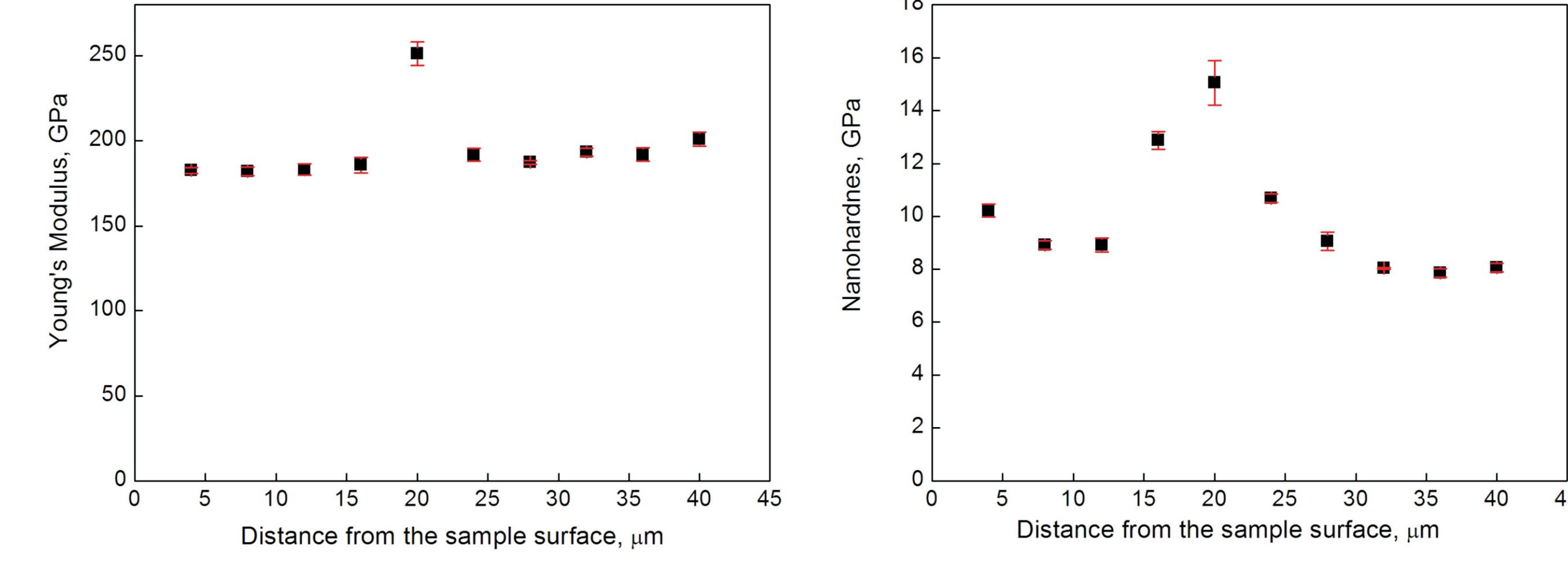
Rys. 11. Wyniki badań z próby zginania
Fig. 11. Results of test bending



Rys. 12. Amplituda sygnału emisji akustycznej generowanego podczas zginania próbki z karbem
Fig. 12. EA signal amplitude during the bending test of notched specimen



Rys. 13. Schemat pomiaru nanotwardości
Fig. 13. The scheme of nanohardnes measurement



Rys. 14. Moduł Younga (z lewej), nanotwardość (po prawej) w funkcji odległości od powierzchni próbki
Fig. 14. Young modulus (on left), nanohardnes (on right) as function of distance from the surface coating

Wskaźniki realizacji celów projektu Indicators of the project

Publikacja

Application of ea signal to evaluate the degradation of X6CrNiTi18-10 steel during tensile test, Bochnowski W., Dziedzic A., Adamak S., Serzegij E., XI-th International Congress. Machines. Technologies. Materials '14. Varna 17-20.09.2014.

Wnioski Conclusions

Na podstawie pomiaru sygnału EA przy próbie zginania można określić wartości naprężzeń, przy których pojawiają się pierwsze pęknięcia powłoki aluminidowej, o których nie można wnioskować z krzywej zginania.

Zróżnicowanie składu chemicznego powłoki aluminidowej może świadczyć o różnej budowie fazowej a tym samym o miejscach inicjacji początkowych pęknięć podczas działania naprężenia.

On the basis of the EA signal during bend test, can determine the values of stress (which can not be inferred from the bending curve) at which the first cracks are created in the aluminide coating.

The diversity of chemical composition of the aluminide coating may indicate places in which the crack initiation occurs.